

## Измерение относительной интенсивности фотонного излучения $^{103}\text{Pd}$

Т. П. БЕРЛЯНД, Е. И. ГРИГОРЬЕВ, В. П. ОРЛОВ

*Измерена интенсивность фотонов с энергией 20,15; 22,77; 295 и 497 кэВ при распаде  $^{103}\text{Pd}$  относительно линии 357 кэВ. Полученные результаты подтвердили несогласованность оцененных данных для КХ- и гамма-излучений  $^{103}\text{Pd}$ . Предложена взаимно увязанная система абсолютных интенсивностей для указанных энергий.*

**Ключевые слова:** радионуклид, схема распада, относительная и абсолютная интенсивность, КХ- и гамма-излучение, стандартная неопределенность.

*The intensities of photon radiation with energies 20,15; 22,77; 295 and 497 keV spectrum lines of  $^{103}\text{Pd}$  referred to the 357 keV spectrum line has been measured. The obtained results have confirmed the discrepancy between evaluated data for KX -and  $\gamma$ -radiation of  $^{103}\text{Pd}$ . The agreed system of the absolute intensities of the mentioned spectrum lines is suggested.*

**Key words:** radionuclide, decay scheme, relative and absolute intensity, KX- and gamma-radiation, standard uncertainty.

Основное применение радионуклид  $^{103}\text{Pd}$  находит в радиационной медицине. При этом производитель (поставщик) паспортизует продукцию по активности (удельной активности раствора, суммарной активности фасовки), а потребитель, как правило, проверяет соответствие этих данных фактическому состоянию. Учитывая схему распада  $^{103}\text{Pd}$  (рис. 1), измерение активности выполняют двумя способами, в равной степени применяемыми на практике. В первом случае измеряют внешнее гамма-излучение прежде всего с энергией 357 кэВ на полупроводниковом гамма-спектрометре и по

значению абсолютной интенсивности измеряемой линии (0,0221 %) определяют активность  $^{103}\text{Pd}$ . Во втором случае измеряют характеристическое излучение дочернего  $^{103\text{m}}\text{Rh}$  прежде всего с энергией 20—23 кэВ и абсолютной интенсивностью 74 % на полупроводниковом рентгеновском спектрометре. Решающую роль при сравнении результатов двух методов играет взаимная увязанность значений абсолютной интенсивности гамма- и КХ-излучений. В качестве параметра, характеризующего согласованность значений, в данном случае рассматривают отношения  $I_i/I_{357}$ , где  $I_i$  — абсолютная интенсивность фотонов с энергией  $E_i$ ,  $I_{357}$  — абсолютная интенсивность гамма-квантов с энергией 357 кэВ. Этот параметр, обозначенный  $I_i/I_{357}$ , представляет собой относительную интенсивность фотонного излучения  $^{103}\text{Pd}$ .

Обзор существующих экспериментальных данных по измерению относительной интенсивности суммарного КХ-излучения выполнен в [1]. Отмечено, что в 1955—1969 гг. получены четыре результата от  $0,48 \cdot 10^3$  до  $1,39 \cdot 10^3$ , которые в три—семь раз отличаются от четырех более поздних результатов [1, 2], образующих группу значений от  $3,02 \cdot 10^3$  до  $3,34 \cdot 10^3$ . Информация о других экспериментальных данных по настоящее время отсутствует. Оцененные данные в международных базах основываются, прежде всего, на результатах работы [2] и выводят из оценки ранние результаты, что также соответствует выводам данной статьи.

В табл. 1 приведены экспериментальные значения относительной интенсивности  $I_i/I_{357}$  из [1, 2] и полученные в данной статье, а также оцененные значения, принятые в международных базах данных. Здесь представлены три характерные группы оцененных данных, взятые из публикации [3]

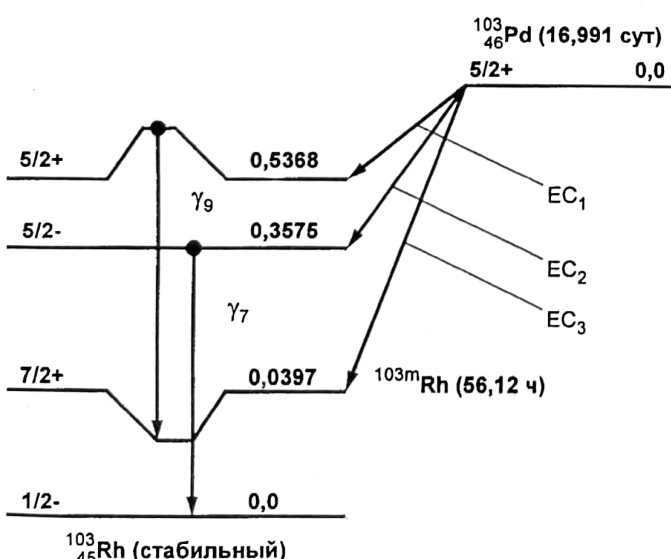


Рис. 1. Схема распада  $^{103}\text{Pd}$  [по 3]

Таблица 1

Относительная интенсивность фотонного излучения  $^{103}\text{Pd}$ 

| $E, \text{кэВ}$        | Эксперимент   |                                  |                                       | Оценка                       |                                       |                                       |
|------------------------|---|----------------------------------|---------------------------------------|------------------------------|---------------------------------------|---------------------------------------|
|                        | [1]   | [2]                              | Данная статья                         | [3]                          | JEF-2                                 | ENSDF (NuDat)                         |
| $\Sigma E_{KX}$        | $3,32(11) \cdot 10^3$<br>$3,02(20) \cdot 10^3$<br>$3,16(25) \cdot 10^3$ | $3,34(10) \cdot 10^3$<br>—<br>—  | $2,71(58) \cdot 10^3$<br>—<br>—       | $3,128 \cdot 10^3$<br>—<br>— | $3,144(115) \cdot 10^3$<br>—<br>—     | $3,485(14) \cdot 10^3$<br>—<br>—      |
| 20,15<br>(20,01+20,22) | —   | —                                | $2,313(57) \cdot 10^3$                | $2,593 \cdot 10^3$           | $2,605(105) \cdot 10^3$               | $2,895(10) \cdot 10^3$                |
| 22,77<br>(22,7+23,17)  | —   | —                                | $0,458(12) \cdot 10^3$                | $0,535 \cdot 10^3$           | $0,539(47) \cdot 10^3$                | $0,590(10) \cdot 10^3$                |
| 295<br>357<br>497      | —<br>1,00<br>—  | 0,1269(31)<br>1,00<br>0,1796(62) | 0,1408(35)<br>1,000(19)<br>0,1815(36) | —<br>1,00<br>0,1801          | 0,1269(31)<br>1,000(31)<br>0,1796(62) | 0,1267(36)<br>1,000(36)<br>0,1792(68) |

и международных компьютерных файлов JEF-2 и ENSDF (NuDat) по состоянию на 2001 г.

Измерения относительной интенсивности выполнены с применением эталонных рентгеновского и гамма-спектрометров в Центре метрологии ионизирующих излучений ВНИИФТРИ (ЦМИ «ВНИИФТРИ»). Из раствора  $^{103}\text{Pd}$  в стандарте ОСГИ (образцового спектрометрического гамма-источника) изготовили семь невесомых источников одинаковой конструкции: между двумя тонкими лавсановыми пленками в кольце диаметром 29 мм нанесено радиоактивное пятно диаметром около 4 мм. Активность источников составляла  $10^6$ — $5 \cdot 10^7$  Бк на начало измерений. Каждый источник измеряли попеременно на рентгеновском и гамма-спектрометрах. Рентгеновский спектрометр на основе детектора из ОЧГ отградуирован широким набором источников в диапазоне 10—120 кэВ [4] в условиях малого телесного угла. На гамма-спектрометре использовали два измерительных тракта с детекторами Ge(Li) объемом 40 и 80 см<sup>3</sup> в различных отградуированных геометриях с использованием в некоторых случаях дополнительных Al-экранов между детектором и источником  $^{103}\text{Pd}$  и контрольного источника из  $^{133}\text{Ba}$ . На рис. 2, а, б показаны типичные спектограммы от  $^{103}\text{Pd}$  на рентгеновском и гамма-спектрометрах. Измерения всех источников выполняли группами через приблизительно один период полураспада в течение четырех месяцев с контролем сохранности режима счета. Полученные экспериментальные значения относительной интенсивности представляют собой средневзвешенные по совокупности соответствующих результатов.

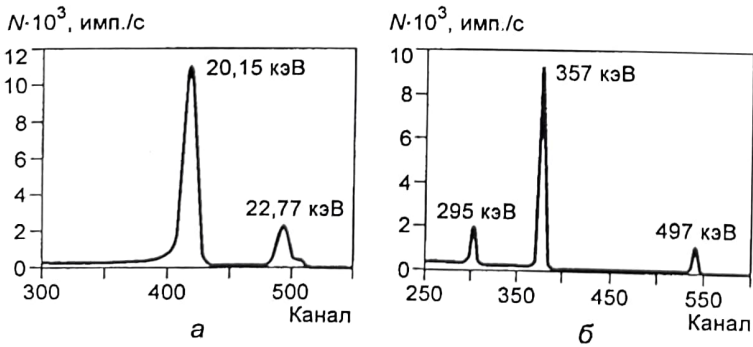


Рис. 2. Типичные спектrogramмы фотонного излучения  $^{103}\text{Pd}$ : а — на рентгеновском и б — на гамма-спектрометрах

При оценке суммарной стандартной неопределенности результатов учитывались следующие составляющие:

стандартная неопределенность (типа А) из статистической обработки совокупности результатов, 0,51—1,54 %;

суммарная стандартная неопределенность эффективности регистрации характеристического излучения с энергией 20—23 кэВ, 2,02 %;

суммарная стандартная неопределенность эффективности регистрации гамма-излучения с энергией 300—500 кэВ, 1,45 %;

стандартная неопределенность (типа В), обусловленная методом обработки спектrogramмы, 0,4—0,9 %;

стандартная неопределенность (типа В) из-за долговременной воспроизводимости отклика детекторов, 0,9 %;

дополнительная стандартная неопределенность (типа В) вследствие возможных отклонений геометрии измерения и других неучтенных влияющих факторов, 0,6 %.

Суммарную стандартную неопределенность рассчитывают как корень квадратный из суммы квадратов составляющих. Ковариацию входных величин не оценивали в предложении ее несущественности.

Сравнение данных в табл. 1 показывает заметное расхождение оцененных данных с экспериментальными и недостаточность экспериментальных результатов для процедуры их оценки. Полученное в настоящей работе значение относительной интенсивности  $I_{KX}/I_{357}$  согласуется с результатом лаборатории в Харуэлле (Англия) [1], но расходится с остальными результатами более чем на 10 %.

Значения абсолютных интенсивностей излучения  $^{103}\text{Pd}$  базируются на данных из [2], и для энергии 357 кэВ все оценки единодушно указывают значение 0,0221 %, хотя в [2] допускается и другое значение (0,024 %), что объясняется использованием другого метода расчета абсолютной интенсивности по конверсионным коэффициентам. Соглашаясь с установленвшимся единством, мы принимаем в качестве опорного значение абсолютной интенсивности для энергии 357 кэВ, равное 0,0221(8) % (из оценки ENSDF), и с учетом полученных в данной работе результатов принимаем увязанную систему значений абсолютной интенсивности излучения  $^{103}\text{Pd}$ , приведенную в табл. 2.

В качестве рекомендованного периода полураспада  $^{103}\text{Pd}$  большинством оценок принято значение  $T_{1/2} = (16,991 \pm 0,019)$  сут [5], используемое и в настоящей работе, хотя дополнительные измерения в течение де-

Таблица 2  
Абсолютная интенсивность  
фотонного излучения  $^{103}\text{Pd}$

| $E$ , кэВ              | $I$ , %      |
|------------------------|--------------|
| 20,15<br>(20,01+20,22) | 51,1 (22)    |
| 22,77<br>(22,7+23,17)  | 10,12 (45)   |
| 295                    | 0,00311 (13) |
| 357                    | 0,0221 (9)   |
| 497                    | 0,00401 (17) |

вяти—десяти периодов полу-распада показали тенденцию к возможному уменьшению этого значения на 1—2 %, что требует более точного целевого исследования.

#### ЛИТЕРАТУРА

1. Newton D. e. a. // Int. J. Appl. Radiat. Isot. — 1978. — V. 29. — P. 188.

2. Macias E. S. e. a. // Phys. Rev. — 1976. — V. C14. — P. 639.
3. Публикация 38 МКРЗ. Схемы распада радионуклидов. Энергия и интенсивность излучения. — М.: Энергоатомиздат, 1987.
4. Григорьев Е. И., Трошин В. С. // Измерительная техника. — 1997. — № 12. — С. 42.
5. Vaninbroukx R., Gross G., Zehner W. // Int. J. Appl. Radiat. Isot. — 1981. — V. 32. — P. 589.

Дата одобрения 17.05.2002 г.